

$\gamma \rightarrow \alpha$ превращения, полученных при умеренных скоростях охлаждения в настоящей работе и в [10]. При концентрации никеля, превышающей 15%, температуры начала $\gamma \rightarrow \alpha$ превращения при умеренных скоростях охлаждения (наст. работа и [10]) совпадают с температурами, установленными при очень высоких скоростях охлаждения [6]. Это указывает на то, что в сплавах с содержанием никеля выше 15% при всех исследованных скоростях охлаждения температуры начала $\gamma \rightarrow \alpha$ превращения одинаковы.

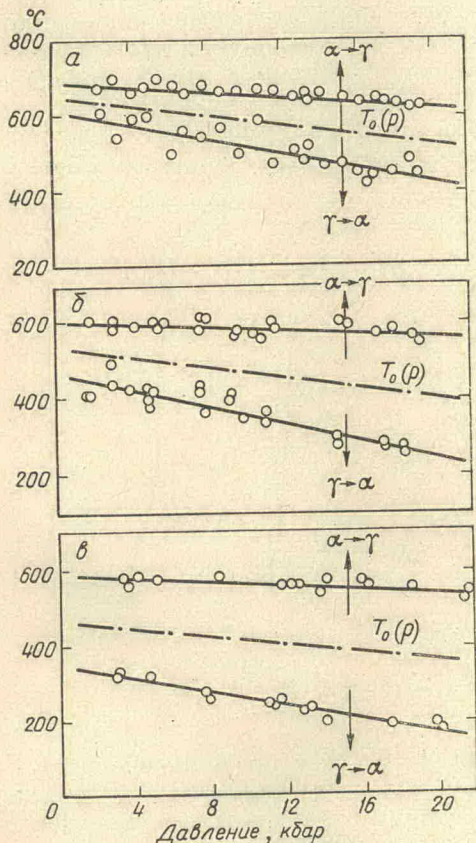


Рис. 2. Зависимость от давления температур начала $\gamma \rightarrow \alpha$ и $\alpha \rightarrow \gamma$ превращений при непрерывном охлаждении и нагреве в сплавах, содержащих 8 (а), 12 (б) и 14% Ni (в).

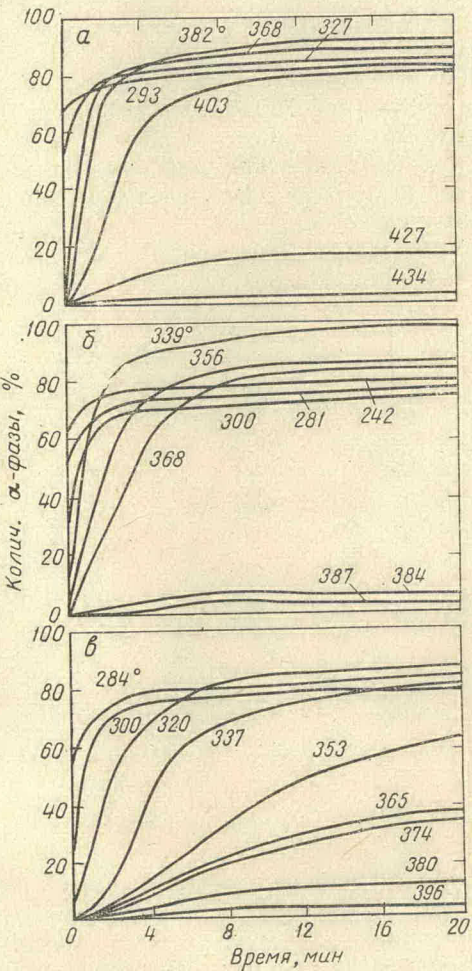


Рис. 3. Изотермическое $\gamma \rightarrow \alpha$ превращение в сплаве с 10% Ni при давлениях 5 (а), 10 (б) и 15 кбар (в).

ванных скоростях охлаждения фиксируется начало мартенситного $\gamma \rightarrow \alpha$ превращения.

Температуры конца $\gamma \rightarrow \alpha$ превращения, полученные в настоящей работе, расположены значительно выше нижней границы двухфазной $(\alpha + \gamma)$ -области равновесной диаграммы состояния системы Fe—Ni [11].

Зависимость от давления температур начала $\gamma \rightarrow \alpha$ и $\alpha \rightarrow \gamma$ превращений при непрерывном охлаждении и нагреве со скоростью 160 град/мин для трех сплавов показана на рис. 2. Там же приведены $T_0 - p$ диаграммы $\gamma \rightarrow \alpha$ превращения сплавов (линии метастабильного равновесия α - и γ -фаз одного и того же состава), построенные как средние между линиями

ями начала $\gamma \rightarrow \alpha$ и $\alpha \rightarrow \gamma$ превращений. Давление обуславливает снижение температур начала $\gamma \rightarrow \alpha$ и $\alpha \rightarrow \gamma$ превращений и точек T_0 . Средний (для трех представленных на рис. 2 сплавов) наклон соответствующих линий составляет, град/кбар: $(dT/dp)_{\gamma \rightarrow \alpha} = 9,6 \pm 1,2$; $(dT/dp)_{\alpha \rightarrow \gamma} = 2,9 \pm 1,0$; $dT_0/dp = 6,3 \pm 1,1$, что согласуется с имеющимися данными (см. [7]).

Изотермическое $\gamma \rightarrow \alpha$ превращение изучалось в сплавах с 10 и 14% Ni при трех значениях давления (5; 10 и 15 кбар для сплава с 10% Ni и 4; 6,8 и 11,5 кбар — для сплава с 14% Ni) в сплавах с 5; 8; 12 и 14% Ni при одном значении давления (10; 11,5; 8 и 6 кбар соответственно). Перед регистрацией изотерм образцы выдерживались в течение 5 мин в области γ -фазы (при 720°С для всех сплавов, кроме сплава с 5% Ni, и при 800° для этого сплава), после чего путем изменения тока нагревателя быстро (со скоростью 300 град/мин) охлаждались до температуры изотермической выдержки. Изотермы $\gamma \rightarrow \alpha$ превращения в сплаве с 10% Ni приведены на рис. 3.

Результаты изучения $\gamma \rightarrow \alpha$ превращения в изотермических условиях показали, что в сплавах Fe—Ni, в полном соответствии с данными, полу-

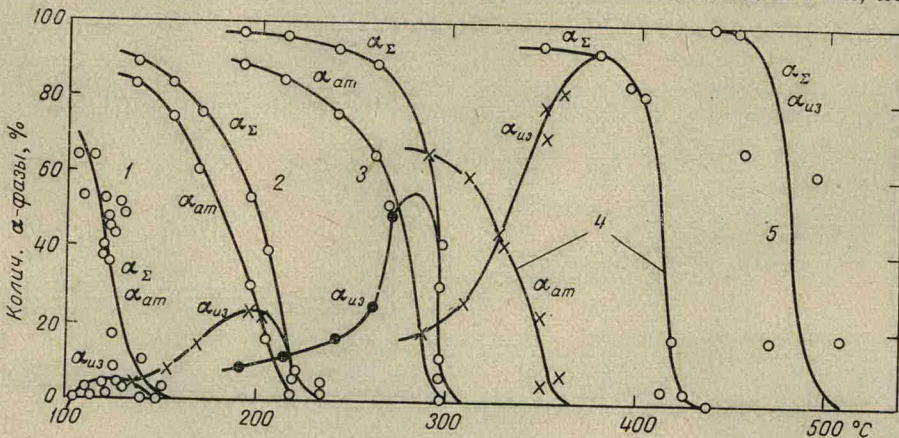


Рис. 4. Зависимость количества α -фазы, возникающей в сплавах Fe—Ni к началу α_{at} и в ходе α_{iz} изотермической выдержки, от температуры:
1 — 20% Ni, $p=5$ кбар; 2 — 14% Ni, $p=11$ кбар; 3 — 14% Ni, $p=4$ кбар; 4 — 10% Ni, $p=5$ кбар; 5 — 8% Ni, $p=4$ кбар.

ченными при непрерывном охлаждении [4—6], $\gamma \rightarrow \alpha$ превращение происходит термически активируемым путем при высоких температурах и атермическим (мартенситным) путем — при более низких температурах. Вначале, при малых переохлаждениях, превращение носит чисто изотермический характер, к началу изотермы сохраняется 100% γ -фазы. По мере увеличения переохлаждения скорость изотермического превращения возрастает, однако по-прежнему превращение идет от 0% α -фазы. При достижении определенного переохлаждения к моменту начала изотермической выдержки возникает некоторое количество α -фазы. Содержание этой атермической α -фазы закономерно увеличивается по мере увеличения переохлаждения (рис. 4), количество изотермической α -фазы при этом уменьшается. Температурная зависимость количества атермической α -фазы, возникающей до начала изотермического превращения, описывается кривой, характерной для мартенситных превращений (см. рис. 4). Тот факт, что атермическое превращение наблюдается в сплавах как с низким содержанием никеля, в которых скорость изотермического превращения велика, так и с высоким, где изотермическое $\gamma \rightarrow \alpha$ превращение идет с очень малыми скоростями, показывает, что